

# カーボン繊維シートによるコンクリート柱の補強効果

鳥取大学 正会員 西林新蔵  
 鳥取大学 正会員 井上正一  
 鳥取大学 学生員 ○小椋貴史

岡山能開短大 正会員 宮内克之  
 東燃株式会社 正会員 田中良典  
 オリエンタル建設(株) 正会員 村田昌寛

## 1. はじめに

耐震補強を含め既存鉄筋コンクリート構造物の補強法として、施工性の容易さからカーボン繊維シート（以下CFシートと称す）貼付による補強が有望であると思われる。しかしその実用化にあたって、補強基準、補強性能、耐久性などについて十分に検討しておく必要がある。そこで本研究は、コンクリート柱を対象としてCFシートを貼付けた供試体の圧縮試験を行うことによって、補強効果を強度と変形特性の観点から検討したものである。

## 2. 実験概要

実験計画を表-1に示す。表-2にカーボン繊維シートの力学的特性を示す。なお、表-1におけるCFシート繊維率を次のように定義する。

$$\rho_{CFn} = n \cdot nt / \phi$$

なお、 $\rho_{CFn}$ はn層のカーボン繊維率（体積比）、tはCFシートの設計厚さ（0.011cm）、 $\phi$ は供試体の直径。圧縮試験は、最大荷重付近に達するまでは一定荷重刻みの漸増載荷を行い、その後、最大荷重付近前後から変位制御にし各荷重（変位）段階で、供試体の軸方向と周方向ひずみを測定した。

## 3. 結果と考察

### 3.1 応力～ひずみ関係

表-3に圧縮試験の結果を、図-1に軸方向の応力～ひずみ関係の一例を示す。CFシート貼付け供試体は、CFシートが破断して破壊に至り、爆裂して原形をとどめないものも見られた。

図-1より、CFシート無貼付供試体では、軸方向ひずみが $2000 \times 10^{-6}$ 付近で最大応力に達して破壊に至る。一方、CFシート貼付け供試体においては、軸ひずみ $2000 \times 10^{-6}$ 付近から応力の増加は緩やかになり、最大応力および最大応力時のひずみともシートの貼付け層数を増やすことによって増加することがわかる。

表-1 実験計画

コンクリート強度 (kgf/cm <sup>2</sup> )	供試体寸法 (cm)	カーボン繊維シート の貼付け層数	CFシート繊維率 $\rho_{CF}$ (%)
$f'_{c0} = 300$	$\phi 10 \times 20$	0層	—
		1層	0.440
		2層	0.880
		3層	1.320
500	$\phi 10 \times 20$	0層	—
		1層	0.440
		2層	0.880
		3層	—
300	$\phi 15 \times 30$	0層	—
		1層	0.293
		2層	0.587
		3層	0.880
500	$\phi 15 \times 30$	0層	—
		1層	0.293
		2層	0.587
		3層	—

表-2 カーボン繊維シートの物理的性質

目付 (g/m <sup>2</sup> )	引張強度 $f_{CF}$ (kgf/cm <sup>2</sup> )	弾性係数 (kgf/cm <sup>2</sup> )	設計厚さ $t$ (cm)
200	35,500	$2.35 \times 10^6$	0.011

表-3 圧縮試験結果  
円柱供試体 ( $\phi 10 \times 20$ cm)

コンクリート強度 $f'_{c0}$ (kgf/cm <sup>2</sup> )	カーボン繊維 シートの貼付 の層数	圧縮強度 $f'_{c,cr}$ (kgf/cm <sup>2</sup> )	最大応力時の の継ひずみ ( $\times 10^{-6}$ )	最大応力時の の継ひずみ ( $\times 10^{-6}$ )
372	1層	710	10500	12435
	2層	898	14875	11300
	3層	1120	19000	10450
581	1層	767	9563	12881
	2層	1067	12375	11310

円柱供試体 ( $\phi 15 \times 30$ cm)

318	1層	534	10813	13564
	2層	687	14500	13337
	3層	832	19250	10786
461	1層	605	9450	13207
	2層	806	12450	12524

### 3.2 圧縮強度特性

CFシートの補強効果を定量的化するため、Richartらによる3軸圧縮応力下のコンクリートの構成式(式(1))において $k_c$ を導入して評価することにした。その結果を図-2に示す。図より、コンクリート強度、供試体寸法の大きさに関係なく一つの直線で近似できる。すなわち、実験の範囲からは、 $k_c=0.81$ とすることによって、式(1)で圧縮強度を精度良く予測できるといえる。

$$f'_{c,CF} = f'_{co} + 4.1 k_c \cdot f_r \quad \cdots (1)$$

$$f_r = (2/\phi \cdot L) \cdot T, \quad T = f_{CF} \cdot L \cdot t$$

ここに、 $f'_{co}$ および $f'_{c,CF}$ はそれぞれ使用したコンクリート(無補強供試体)およびシートを貼付けた供試体の圧縮強度、 $f_r$ は終局状態(シート破断時)においてカーボン繊維シートから受けけるコンクリートの側圧、 $T$ は長さ(幅) $L$ 、厚さ $t$ のCFシートの引張強度

### 3.3 最大応力時のひずみ $\epsilon'_{cc}$

最大応力時のひずみを予測するためにIssaとTobbaによる提案式(2)の適用性を検討した。

$$\epsilon'_{cc}/\epsilon'_{co} = 1 + a \cdot (f_r/f'_{co})^b \quad \cdots (2)$$

ここに、 $\epsilon'_{co}$ は無拘束コンクリートの最大応力時の軸ひずみ図-3より、同一 $f_r/f'_{co}$ であっても、 $\epsilon'_{cc}$ はコンクリート強度によって異なるが、 $\epsilon'_{cc}$ の値は式(2)によって予測できる可能性のあることが伺える。

### 3.4 最大応力時までに蓄えられるエネルギー

図-4に、最大応力時までに蓄えられるエネルギー吸収能(応力～ひずみ関係の面積)を示す。図より、供試体寸法やコンクリート強度がエネルギー吸収能に及ぼす影響は小さく、カーボン繊維率の増加にはほぼ比例してエネルギー吸収能も大きくなっていることがわかる。

### 4.まとめ

- (1) 円柱供試体にカーボン繊維シートを貼り付けることによって、圧縮強度および最大応力時のひずみが著しく増大する。
- (2) カーボン繊維シートで補強した円柱供試体の圧縮強度は式(1)の有効係数を $k_c=0.81$ とおくことによって精度良く予測できる。
- (3) カーボン繊維シートによって補強した円柱供試体の最大応力時の軸ひずみは式(2)によって予測できると考えられる。
- (4) 最大応力時までに蓄えられるエネルギーはカーボン繊維シートの貼付け枚数の増加に伴って増加する。

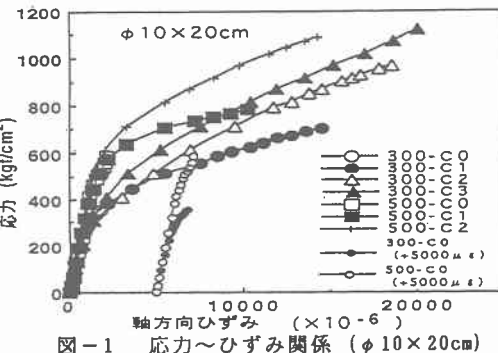


図-1 応力～ひずみ関係 ( $\phi 10 \times 20\text{cm}$ )

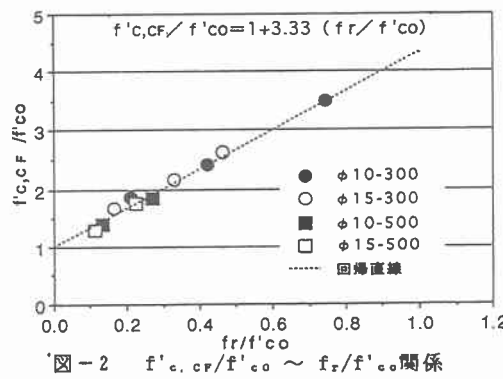


図-2  $f'_{c,CF}/f'_{co} \sim f_r/f'_{co}$  関係

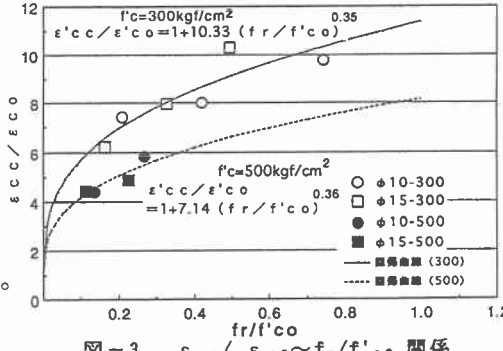


図-3  $\epsilon'_{cc}/\epsilon'_{co} \sim f_r/f'_{co}$  関係

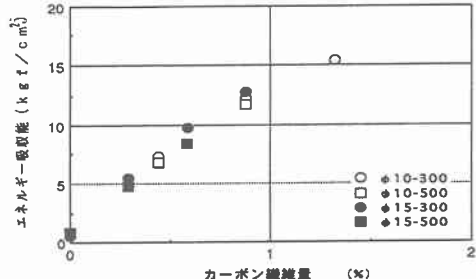


図-4 エネルギー吸収能とカーボン繊維率関係